

"نهال و بذر"  
جلد ۱۸، شماره ۴، اسفند ۱۳۸۱

## تأثیر آرایش کاشت بر جذب و راندمان تبدیل نور در کانوپی سه رقم ذرت\*

### The Effect of Planting Pattern on Light Interception and Radiation Use Efficiency in Canopy of Three Maize Cultivars

علیرضا بهشتی، علیرضا کوچکی و مهدی نصیری محلاتی

مرکز تحقیقات کشاورزی خراسان و دانشکده کشاورزی دانشگاه فردوسی مشهد

تاریخ دریافت: ۸۱/۴/۲

#### چکیده

بهشتی، ع.، کوچکی، ع.، و نصیری محلاتی، م. ۱۳۸۱. تأثیر آرایش کاشت بر جذب و راندمان تبدیل نور در کانوپی سه رقم ذرت. نهال و بذر: ۱۸: ۴۳۱-۴۷.

به منظور مطالعه تغییرات ایجاد شده در کانوپی ارقام ذرت از طریق روش‌های مدیریتی نظیر آرایش کاشت و تأثیر آن بر میزان جذب و کارآبی مصرف نور و در نهایت بررسی علل اکوفیزیولوژیک اختلاف در بیوماس تولیدی ارقام ذرت، آزمایشی در سال زراعی ۱۳۷۸ در ایستگاه تحقیقاتی طرق مشهد به اجرا درآمد. این آزمایش در قالب کرت‌های خرد شده بر پایه طرح بلوک‌های کامل تصادفی در سه تکرار انجام شد. سه آرایش کاشت مستطیلی، مربع و لوزی به کرت‌های اصلی و سه رقم ذرت سینگل کراس ۳۰۱، ۷۰۴ و ۱۰۸ به کرت‌های فرعی اختصاص یافت. نتایج نشان داد که آرایش کاشت و رقم اثر معنی‌داری بر میزان جذب تشعشع فعال فتوستزی و کارآبی مصرف نور به عنوان مؤلفه‌های مؤثر در تجمع ماده خشک در مراحل فنولوژیک رشد و بخصوص پس از آغاز مرحله رشد زایشی داشتند ( $P < 0.05$ ). شاخص سطح برگ و ضریب خاموشی نور تحت تأثیر منابع تغییر در این آزمایش قرار گرفت و در نتیجه میزان تشعشع فعال فتوستزی جذب شده تحت تأثیر آرایش کاشت و رقم تقاضوت نشان داد. افزایش تجمع ماده خشک در آرایش کاشت مربع ناشی از جذب بیشتر تشعشع فعال فتوستزی و به صورت بازتری در نتیجه افزایش کارآبی مصرف نور در این آرایش کاشت نسبت به آرایش کاشت لوزی و مستطیل بود، لذا با تغییر در آرایش کاشت ذرت از روش کاشت مستطیل به مربع می‌توان انتظار داشت که بیوماس تولیدی افزایش یابد.

**واژه‌های کلیدی:** ذرت، تجمع ماده خشک، ساختمان کانوپی، دریافت نور، کارآبی مصرف نور، آرایش کاشت.

\* قسمتی از پایان‌نامه دکتری نگارنده اول که به گروه زراعت دانشکده کشاورزی دانشگاه فردوسی مشهد ارائه شده است.

بین مراحل مختلف رشد از نظر دریافت و جذب نور قائل نیستند (Muchow *et al.*, 1990) شواهدی دال بر تفاوت در دریافت و جذب نور و نیز ضریب استهلاک نور در مراحل مختلف زندگی ذرت گزارش شده است (Loomis and Duncan, 1986). این تفاوت عمدها به علت وجود برگ‌های پیر که به دریافت نور ادامه می‌دهند ولی در محاسبه LAI وارد نمی‌شوند (Gallo *et al.*, 1993) و Dwyer *et al.*, (1992) نسبت داده شده است.

ماکو و همکاران (Muchow *et al.*, 1990) به ترتیب مقادیر ۱ و ۰/۴ را برای a و K در ذرت محاسبه کردند در حالی که گالو و دورتری (Gallo and Daugherty, 1986) برازش بهتری (Edmeades and Lafittle, 1993) تعداد برگ (Duncan and Jesjet, 1968) (Hipps *et al.*, 1983; Gallo *et al.*, 1993) و توزیع (Sinclair and Horie, 1989) LAI عمودی سطح برگ (Gardner *et al.*, 1990) درنتیجه اختلاف در جذب نور در طول زمان باشد. تاریخ کاشت (Loomis and Duncan, 1989) تراکم گیاهی (Dwyer *et al.*, 1992)، رژیم رطوبتی (Monteith and Unsworth, 1990) (Tollenaar and Aguilera, 1992) نیز ممکن است ساختمان کانوپی و الگوی انتشار FIPAR

## مقدمه

تولید ماده خشک گیاهی به عنوان تابعی از نور جذب شده در طول دوره رشد و راندمان استفاده از نور تحت تأثیر ساختار کانوپی است. یکی از پیش شرط‌های لازم برای دستیابی به عملکرد بالا تأمین شرایط مطلوب جهت استفاده از تشعشع به منظور تولید مواد فتوستتری در بالاترین حد کارآئی آن است (Muchow *et al.*, 1990). بیomas تولیدی به طور مستقیم به میزان نور جذب شده توسط کانوپی مرتبط است (Sinclair and Horie, 1989) (Monteith and Unsworth, 1990). به طور کلی دریافت نور و شاخص سطح برگ (LAI) از طریق تابع نمایی با شکل کلی  $FIPAR = a(1-e^{-KLA})$  با یکدیگر مرتبط هستند (Hipps *et al.*, 1983) (Maddonni and Otegui, 1996) معادله FIPAR، کسر تشعشع فعال فتوستتری (Photosynthetically Active Radiation:PAR) دریافتی بوسیله کانوپی، K ضریب استهلاک نور و a (Plateau Value) حد اکثر مقدار FIPAR است. شاخص سطح برگ (LAI) (Leaf Area Duration: LAD) دوام سطح برگ و آرایش فضایی اندام‌های هوایی گیاهی عوامل مؤثر در میزان جذب تشعشع ورودی به کانوپی در مراحل مختلف چرخه زندگی گیاه می‌باشند (Dwyer *et al.*, 1992). اگرچه توابع مورد استفاده در مدل‌سازی رشد گیاهان تفاوتی در

هیبریدهای جدید و قدیم از نظر کارآیی مصرف نور گزارش کردند که افزایش تجمع ماده خشک در هیبریدهای جدید بیشتر از طریق افزایش کارآیی مصرف نور حاصل شده و تفاوت در مقادیر RUE هیبریدهای قدیم و جدید با تغییر در توزیع جریان فتوتون فتوستزی در کانوپی آنها در ارتباط نبوده است. آنها در صد از تفاوت موجود در سرعت رشد (CGR) را مرتبط با RUE دانستند.

هدف از این مطالعه تأثیر آرایش کاشت به عنوان عامل تغییر در ساختار کانوپی از طریق روش مدیریت زراعی، بر میزان جذب و کارآیی مصرف نور به منزله عوامل اساسی تعیین کننده تجمع ماده خشک در ارقام ذرت است.

### مواد و روش‌ها

این آزمایش در قالب کرت‌های خرد شده بر پایه طرح بلوک‌های کامل تصادفی در سه تکرار در ایستگاه تحقیقاتی طرق مشهد در سال زراعی ۱۳۷۸ به اجرا درآمد. آرایش کاشت در سه سطح (مستطیلی، لوزی و مریعی) در کرت‌های اصلی و سه رقم ذرت سینگل کراس شدند. هر کرت فرعی شامل ۵ خط کشت به طور ۱۰ متر بود و در آرایش‌های مختلف تراکم مطلوب هر یک از ارقام هیبرید سینگل کراس ۷۰۴، ۳۰۱ و ۱۰۸ در کرت‌های فرعی قرار داده شدند. هر کرت فرعی شامل ۵ خط کشت به طور ۱۰ متر بود و در آرایش‌های مختلف تراکم مطلوب هر یک از ارقام هیبرید سینگل کراس ۷۳/۵، ۷۰۴، ۳۰۱ و ۱۰۸ به ترتیب حدود ۶۶/۵، ۷۳/۵ هزار بوته در هکتار محاسبه و به اجرا درآمد. روش اعمال آرایش‌های کاشت در هر

را تغییر دهنده. در نظر نگرفتن تغییرات مقادیر ضرایب K و a زمانی که این مقادیر برای تخمین فتوستزی کانوپی (Monteith, 1979) (Biomass Sinclair and Horie, 1989) و عملکرد گیاه (Kiniry and Knievel, 1995) مورد استفاده قرار می‌گیرند گمراه کننده است (Maddonni and Otegui, 1996).

علاوه بر افزایش جذب تششعع فعال فتوستزی به وسیله کانوپی در طول فصل رشد و بهبود توزیع آن در میان برگ‌ها با تغییر ساختار کانوپی، همزمان و به همراه آن افزایش بازده تبدیل PAR به ماده خشک (کارآیی مصرف نور RUE: Radiation Use Efficiency) نیز از عوامل مؤثر در تولید ماده خشک است. مانیث (Monteith, 1979) نشان داد که کارآیی مصرف نور ضریبی نسبتاً ثابت است و مقدار آن را برای گیاهان مختلف زراعی در حدود ۱/۴ گرم ماده خشک به ازای هر مگاژول انرژی خورشیدی جذب شده اعلام کرد. حالی که محققان دیگری این ضریب را برای گونه‌های مختلف، متغیر اعلام کرده‌اند (Sinclair and Horie, Tollenaar, 1989). سینکلر و هوری (Sinclair and Horie, 1989) مقدار RUE را تابعی از میزان آسمیلاسیون  $\text{CO}_2$  و مقدار نیتروژن ویژه (Specific Leaf Nitrogen: SLN) برگ (Tollenaar and Aguilera, 1992) دانسته و برابر ۱/۷ گرم بر مگاژول برای ذرت بسرآورد کردند. تولناار و آگویلرا (Tollenaar and Aguilera, 1992) با مقایسه

همچنین در پائین کانوپی در محل معینی از هر کرت (محل تقاطع اقطار هر کرت) و در زمان مشخص (ساعت ۱۱ صبح) برای هر کرت در چهار محل به صورت عمود بر جهت ردیف‌ها، ته جویچه‌ها و موازی ردیف‌ها، پای گیاه عمود و موازی بر جهت ردیف‌ها در پائین کانوپی قرائت شد و متوسط این چهار قرائت جهت تعیین و محاسبه میزان تشعشع دریافتی برای کانوپی مورد استفاده قرار گرفت. نمونه‌گیری در پنج متر انتهایی هر کرت و از سه بوته به صورت تصادفی به منظور محاسبه و اندازه‌گیری شاخص سطح برگ و وزن خشک تولیدی در هر نوبت صورت پذیرفت. درصد جذب (LI) تشعشع از رابطه زیر محاسبه شد:

$$LI\% = (1 - I/I_0) \times 100$$

که در آن  $I$  و  $I_0$  به ترتیب میزان تشعشع در زیر و بالای کانوپی هستند (Maddonni and Otegui, 1996). ضریب استهلاک نور با استفاده از ارتباط بین شاخص سطح برگ و FIPAR با برآش معادله (FIPAR =  $a (1 - e^{-KLA})$ ) محاسبه شد (Maddonni and Otegui, 1996; Hipps *et al.*, 1983).

کارآیی مصرف نور نیز از طریق محاسبه شبیخ خط رگرسیون بین ماده خشک (گرم در مترمربع) و تشعشع تجمعی (مگاژول در مترمربع) برآورد شد (Muchow *et al.*, 1990). نور ورودی روزانه با استفاده از مدل آنگستروم

رقم براساس تراکم مطلوب آن از طریق محاسبه فواصل بوته‌ها (روی ردیف و بین ردیف) انجام شد. فواصل روی ردیف برای آرایش کاشت مستطیل، مربع و لوزی و برای رقم ۷۰۴ به ترتیب برابر ۲۰ و ۳۹ سانتی‌متر، برای رقم ۳۰۱ برابر ۱۸ و ۳۷/۵ سانتی‌متر و برای رقم ۱۰۸ برابر ۱۶ و ۳۴/۵ سانتی‌متر بود. فواصل برای آرایش کاشت مربع و لوزی یکسان بود اما محل قرار گرفتن بوته‌ها در روی ردیف‌ها و بین ردیف‌ها به نحوی بود که اشكال هندسی مربع و لوزی ایجاد شد.

عملیات آماده‌سازی زمین به روای معمول در زمینی که سال قبل آیش بود همراه با مصرف ۲۵۰ کیلوگرم در هکتار فسفات آمونیوم انجام شد. عملیات کاشت پس از ضد عفنونی بذر به صورت خشکه کاری و بر روی پشت‌هایی که با دست براساس آرایش کاشت ایجاد شده بود صورت پذیرفت. کاشت به صورت کپه‌ای و در هر کپه ۳ تا ۴ بذر قرار داده شد و بوته‌ها پس از سبز شدن، در مراحل دورگی و چهاربرگی براساس رعایت فواصل و تراکم مطلوب هر رقم تنک شدند. کود سرک او ره در مراحل ۶ و ۱۰ برگی و در هر بار به میزان ۲۰۰ کیلوگرم در هکتار به فاصله ۵ سانتی‌متر از پای بوته‌ها و در عمق سه سانتی‌متری خاک دفن شد. نمونه‌گیری ۴۰ روز پس از کاشت آغاز و با فواصل ۱۵ روزه ادامه یافت. در هر نوبت قبل از نمونه‌گیری، تشعشع دریافتی با استفاده از دستگاه تشعشع سنج لوله‌ای در بالای کانوپی و

(PAR)، کسر تشعشع فعال فتوستتری دریافت شده (FIPAR)، ماده خشک (DM) و کارآیی مصرف نور (RUE) در جدول ۱ خلاصه شده است. همانگونه که ملاحظه می‌شود اثر آرایش کاشت بر ماده خشک تولیدی در ۴۰ روز پس از کاشت (مرحله رشد رویشی، قبل از ظهور تاج گل) معنی دار نبود، اما در مرحله آغاز رشد زایشی (ظهور تاج گل) و پس از آن، آرایش کاشت اثر معنی داری بر تولید ماده خشک داشت ( $P < 0.05$ ). در مرحله ۵۵ روز پس از کاشت ماده خشک تولیدی در آرایش مستطیل نسبت به آرایش کاشت مربع و لوزی برتری نشان داد اما در سایر مراحل رشد آرایش کاشت مربع اختلاف معنی داری با سایر آرایش‌های کاشت نشان داد (جدول ۲). آرایش کاشت لوزی نیز در کلیه مراحل رشد زایشی و پس از آن (۷۰، ۸۵ و ۱۰۰ روز پس از کاشت) ماده خشک تولیدی بیشتری نسبت به آرایش کاشت مستطیل داشت اگرچه در مرحله آغاز رشد زایشی (۵۵ روز پس از کاشت) آرایش کاشت لوزی و مستطیل از نظر ماده خشک تولیدی اختلاف معنی داری نداشتند. بیشترین ماده خشک تولیدی به میزان ۱۶۲۲ گرم در مترمربع در آرایش کاشت مربع در ۱۰۰ روز پس از کاشت حاصل شد که تفاوت فاحشی با آرایش کاشت لوزی و مستطیل در همین مرحله داشت (جدول ۲). اثر رقم بر ماده خشک تولیدی نیز

(Rietveld, 1973) و با کمک داده‌های به دست آمده از ایستگاه هواشناسی، شبیه‌سازی شد، سپس تشعشع جذب شده در هر مرحله نیز از حاصل ضرب نور ورودی شبیه‌سازی شده در درصد نور جذب شده هر مرحله نمونه گیری به دست آمد و نهایتاً مقدار کل تشعشع جذب شده در هر مرحله به صورت تجمعی محاسبه گردید (Maddonni and Otegui, 1996) تشعشع ورودی به عنوان PAR در نظر گرفته شد (Monteith, 1979). محاسبه GDD نیز با استفاده از میانگین درجه حرارت‌های حداقل و حد اکثر روزانه و با احتساب عدد ۱۰ درجه سانتی گراد به عنوان صفر پایه برای ذرت محاسبه شد. درجه حرارت‌های بالاتر از  $30^{\circ}\text{C}$   $30^{\circ}\text{C}$  منظور شد (Tollenaar and Aguilera, 1992) سطح برگ (LAI) و GDD با استفاده از یک معادله چند جمله‌ای (بلی‌نومیال) نمایی برآورد یافت. تجزیه‌های آماری و برآوردهای معادلات با استفاده از نرم‌افزارهای کامپیوتری MSTATC و EXCELE و Slid Write انجام پذیرفت. جهت مقایسه میانگین‌ها از آزمون دانکن استفاده شد.

## نتایج و بحث

نتایج تجزیه واریانس در مراحل مختلف رشد فتوولوژیک بر خصوصیات اندازه گیری شده شامل میزان تشعشع فعال فتوستتری جذب شده

Table 1. Analysis of variance for different characteristics at different growth stages of maize hybrids

S. O. V.	درجه آزادی df	MS ملکین مردمات									
		Days after planting					Days after planting				
		روزهای پس از کاشت	روزهای پس از کاشت	روزهای پس از کاشت	روزهای پس از کاشت	روزهای پس از کاشت	روزهای پس از کاشت	روزهای پس از کاشت			
% FIPARA											
Replication	2	0.0010*	0.0230**	0.002 <sup>ns</sup>	0.006**	0.002 <sup>ns</sup>	2.235**	48.975**	8.259**	14.420**	0.418 <sup>ns</sup>
Planting pattern (p)	2	0.0010 <sup>ns</sup>	0.0110**	0.004 <sup>ns</sup>	0.002**	0.002 <sup>ns</sup>	0.531 <sup>ns</sup>	13.272**	0.111 <sup>ns</sup>	0.938*	0.200 <sup>ns</sup>
Error	3	0.0001	0.0001	0.003	0.001	0.001	0.123	0.475	0.148	0.530	0.423
Cultivar (C)	2	0.0600**	0.0020 <sup>ns</sup>	0.004 <sup>ns</sup>	0.004*	0.003**	3.716 <sup>ns</sup>	6.457**	5.444**	2.679**	0.206**
C × P	3	0.0010 <sup>ns</sup>	0.0020*	0.004 <sup>ns</sup>	0.001 <sup>ns</sup>	0.001**	0.060 <sup>ns</sup>	3.457**	0.444 <sup>ns</sup>	1.290**	0.101*
Error	12	0.0010	0.0010	0.003	0.001	0.0001	1.369	0.628	0.269	0.267	0.016
DM											
Replication	2	3.593 <sup>ns</sup>	0.801 <sup>ns</sup>	23.444 <sup>ns</sup>	6103.44	745.8 <sup>ns</sup>	0.001**	0.079**	0.087**	0.102**	0.006 <sup>ns</sup>
Planting pattern (p)	2	3.370 <sup>ns</sup>	5.614*	4566.330*	19324.7**	97607.0**	0.002**	0.010**	0.144**	0.144**	0.011 <sup>ns</sup>
Error	3	1.037	0.192	305.944	747.056	2157.6	0.0001	0.0001	0.001	0.0001	0.004
Cultivar (C)	2	841.593**	35.288**	12716.700**	397777**	18798.0	0.060**	0.034**	0.305**	2.784**	0.141**
C × P	3	1.370 <sup>ns</sup>	0.701 <sup>ns</sup>	151.611*	664.44 <sup>ns</sup>	7676.3**	0.001**	0.001 <sup>ns</sup>	0.013**	0.003**	0.001 <sup>ns</sup>
Error	12	2.056	0.339	32.111	570.019	643.5	0.0001	0.0001	0.0001	0.0001	0.002
RUE											
Replication	2	3.593 <sup>ns</sup>	0.801 <sup>ns</sup>	23.444 <sup>ns</sup>	6103.44	745.8 <sup>ns</sup>	0.001**	0.079**	0.087**	0.102**	0.006 <sup>ns</sup>
Planting pattern (p)	2	3.370 <sup>ns</sup>	5.614*	4566.330*	19324.7**	97607.0**	0.002**	0.010**	0.144**	0.144**	0.011 <sup>ns</sup>
Error	3	1.037	0.192	305.944	747.056	2157.6	0.0001	0.0001	0.001	0.0001	0.004
Cultivar (C)	2	841.593**	35.288**	12716.700**	397777**	18798.0	0.060**	0.034**	0.305**	2.784**	0.141**
C × P	3	1.370 <sup>ns</sup>	0.701 <sup>ns</sup>	151.611*	664.44 <sup>ns</sup>	7676.3**	0.001**	0.001 <sup>ns</sup>	0.013**	0.003**	0.001 <sup>ns</sup>
Error	12	2.056	0.339	32.111	570.019	643.5	0.0001	0.0001	0.0001	0.0001	0.002

\* و \*\*: بهترین معنی دار در سطح احتمال ۵ و ۱٪.

ns: Not significant.

جدول ۲- کارآیی مصرف نور، ماده خشک، PAR جذب شده و کسری از تشعشع فعال فتوستزی  
جذب شده (FIPAR) در آرایش‌ها و ارقام متفاوت ذرت در مراحل مختلف رشد

Table 2. RUE, DM, PARa and FIPAR of different maize hybrids and planting pattern at different growth stages

Treatment	تیمار	کسر تشعشع فعال	PAR جذب شده	ماده خشک	کارآیی مصرف
		FIPAR %	PARa MJ/m <sup>2</sup> /day	DM gm <sup>-2</sup>	RUE نشعشع gMJ <sup>-1</sup>
40 days after planting		روز پس از کاشت ۴۰			
Rect.	آرایش کاشت مستطیل	0.2516 b	3.364 b	75.37 a	1.178 a
Sq.	آرایش کاشت مریع	0.2563 ab	3.426 ab	76.52 a	1.175 a
Diam.	آرایش کاشت لوزی	0.2597 a	3.473 a	75.83 a	1.150 b
KSC 704	۷۰۴ رقم	0.2440 b	3.262 b	67.93 c	1.097 c
KSC 301	۳۰۱ رقم	0.2508 b	3.353 b	73.14 b	1.156 b
KSC 801	۸۰۱ رقم	0.2728 a	3.648 a	86.66 a	1.250 a
55 days after planting		روز پس از کاشت ۵۵			
Rect.	آرایش کاشت مستطیل	0.6755 b	8.214 b	193.4 a	1.579 a
Sq.	آرایش کاشت مریع	0.7038 a	8.558 a	191.4 b	1.529 b
Diam.	آرایش کاشت لوزی	0.7147 a	8.691 a	192.4 ab	1.518 b
KSC 704	۷۰۴ رقم	0.6891 a	8.379 a	190.5 b	1.577 a
KSC 301	۳۰۱ رقم	0.6994 a	8.505 a	193.0 a	1.525 b
KSC 108	۱۰۸ رقم	0.7056 a	8.580 a	193.7 a	1.484 c
70 days after planting		روز پس از کاشت ۷۰			
Rect.	آرایش کاشت مستطیل	0.8684 b	11.62 b	759.3 c	3.426 b
Sq.	آرایش کاشت مریع	0.8883 a	11.82 ab	801.1 a	3.523 a
Diam.	آرایش کاشت لوزی	0.8920 a	11.93 a	790.5 b	3.437 b
KSC 704	۷۰۴ رقم	0.8718 a	11.66 b	740.6 b	3.352 b
KSC 301	۳۰۱ رقم	0.8958 a	11.99 a	802.9 a	3.115 c
KSC 108	۱۰۸ رقم	0.8811 a	11.79 a	807.4 a	3.476 a
85 days after planting		روز پس از کاشت ۸۵			
Rect.	آرایش کاشت مستطیل	0.8604 b	11.51 b	1047 c	3.774 b
Sq.	آرایش کاشت مریع	0.8611 ab	11.52 b	1328 a	3.855 a
Diam.	آرایش کاشت لوزی	0.8792 a	11.64 a	1218 b	3.498 c
KSC 704	۷۰۴ رقم	0.8745 a	11.70 a	1076 c	3.185 c
KSC 301	۳۰۱ رقم	0.8673 ab	11.60 b	1174 b	3.320 b
KSC 108	۱۰۸ رقم	0.8559 b	11.45 c	1476 a	4.236 a
100 days after planting		روز پس از کاشت ۱۰۰			
Rect.	آرایش کاشت مستطیل	0.8421 a	10.78 c	1417 c	2.903 c
Sq.	آرایش کاشت مریع	0.8461 a	10.85 b	1622 a	3.165 a
Diam.	آرایش کاشت لوزی	0.8507 a	10.90 a	1597 b	3.091 b
KSC 704	۷۰۴ رقم	0.8573 a	10.98 a	1529 b	3.008 c
KSC 301	۳۰۱ رقم	0.8478 a	10.86 a	1698 a	3.324 a
KSC 108	۱۰۸ رقم	0.8228 a	10.69 b	1409 c	3.066 b

میانگین‌ها با حروف مشترک در هر ستون اختلاف معنی‌دار در سطح ۵٪ ندارند.

Means followed by similar letter in each column are not significantly different at 5% probability level.

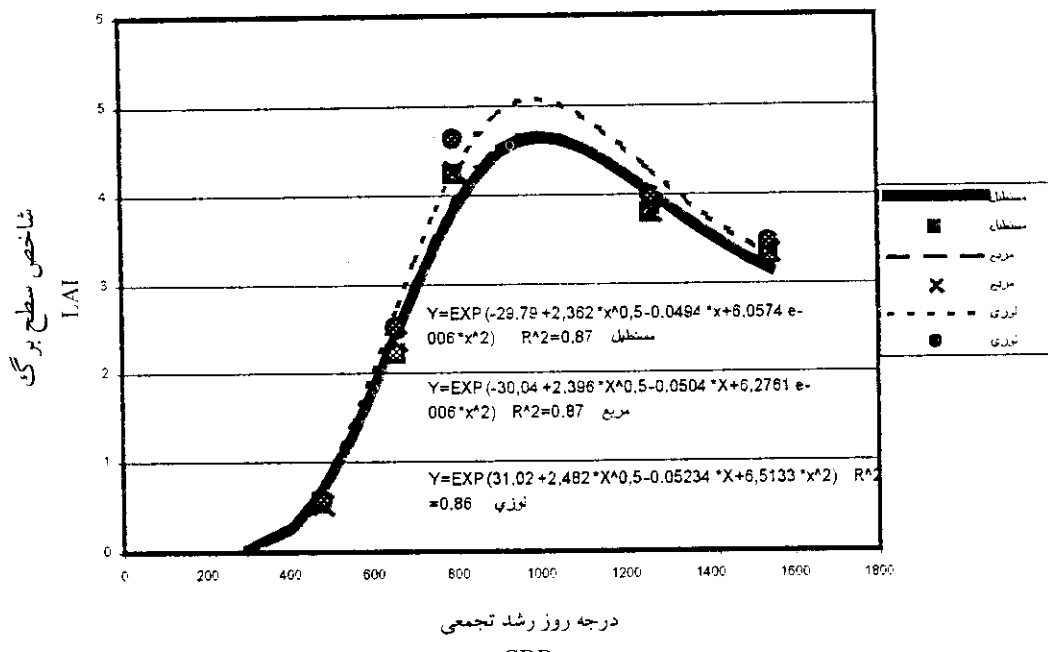
جذب شده تحت تأثیر آرایش کاشت و رقم تفاوت نشان داد ( $0.05 < P$ ). میزان تشعشع فعال فتوستزی جذب شده به عوامل ساختاری کانوپی نظیر شاخص سطح برگ، سرعت توسعه و دوام سطح برگ، توزیع فضایی و مکانی برگ‌ها در کانوپی، زاویه برگ‌ها و همچنین خصوصیات مورفولوژیکی مانند ارتفاع و تعداد پنجه بستگی دارد (Muchow *et al.*, 1990; Dwyer *et al.*, 1992). در ذرت زمان حداکثر جذب نور با حداکثر LAI منطبق نیست و خصوصیات مورفولوژیک دیگری مانند ارتفاع بوته، توزیع عمودی سطح برگ، انعکاس نور از سطح برگ و ضریب خاموشی نور (K) در جذب نور مؤثر می‌باشند (Hipps *et al.*, 1983; Edmeades and Lafitte, 1993) کاشت در شروع رشد زایشی (مرحله ۵۵ روز پس از کاشت، حدود ۶۵ درجه روز رشد) بر شاخص سطح برگ معنی‌دار بود ( $0.05 < P$ ) و این اختلاف تا آخرین مرحله نمونه‌برداری ادامه یافت. بالاترین شاخص سطح برگ در آرایش کاشت لوزی در ۷۰ روز پس از کاشت به مقدار ۴/۶۱ به دست آمد که با آرایش کاشت مربع و مستطیل در همین مرحله اختلاف معنی‌داری داشت (شکل ۱).

ارقام با توجه به تفاوت در رسیدگی آن‌ها از اولین مرحله نمونه‌برداری (۴۰ روز پس از کاشت) از نظر سطح برگ تفاوت نشان دادند و رقم فوق العاده زودرس سینگل کراس ۱۰۸

در کلیه مراحل رشد معنی‌دار بود و با توجه به تفاوت این ارقام از نظر دوره رسیدگی، رقم سینگل کراس ۱۰۸ به عنوان رقم فوق العاده زودرس در مراحل ۴۰، ۵۵ و ۷۰ روز پس از کاشت نسبت به سینگل کراس‌های ۳۰۱ و ۷۰۴ از نظر ماده خشک تولیدی برتری نشان داد ولی در مرحله ۱۰۰ روز پس از کاشت رقم متوسط رس سینگل کراس ۳۰۱ بر این رقم برتری یافت و اختلاف معنی‌داری با دو رقم دیگر هیبرید نشان داد. در همین مرحله رقم سینگل کراس ۷۰۴ به عنوان رقم دیررس از رقم ۱۰۸ ماده خشک بیشتری تولید کرد و اختلاف معنی‌داری با آن نشان داد (جدول ۲). تفاوت در ماده خشک تجمعی در آرایش‌های مختلف کاشت عمدتاً پس از مرحله شروع رشد زایشی (۵۵ روز پس از کاشت) بود. تولناار و همکاران (Tollenaar *et al.*, 1992) نیز در مقایسه دو رقم جدید و قدیم ذرت قبل از مرحله کاکل‌دهی از نظر ماده خشک تولیدی تفاوتی در بین ارقام مشاهده نکردند.

اختلاف در ماده خشک تولیدی ناشی از اثر منابع تغییر (آرایش کاشت و رقم) بر میزان تشعشع فعال فتوستزی جذب شده و کارایی مصرف نور به عنوان مؤلفه‌های اساسی تجمع ماده خشک در مراحل مختلف رشد است.

شاخص سطح برگ و ضریب خاموشی نور تحت تأثیر منابع تغییر در این آزمایش قرار گرفت و در نتیجه میزان تشعشع فعال فتوستزی



شکل ۱- ارتباط بین شاخص سطح برگ و درجه رشد تجمعی در آرایش‌های مختلف کاشت  
(علاوه نقاط واقعی و خطوط نقاط پیش‌بینی شده را نشان می‌دهند)

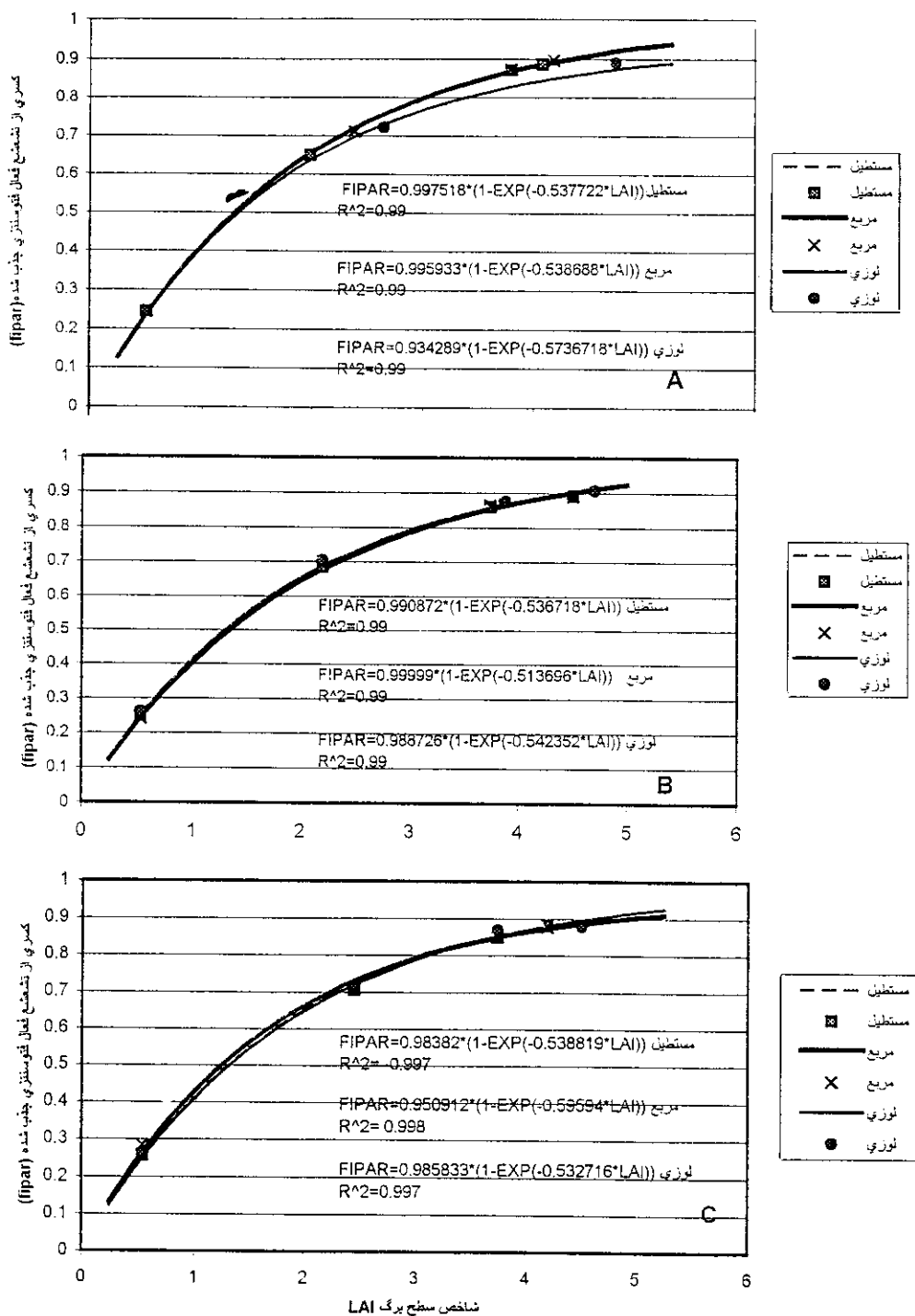
Fig. 1. Relationship between LAI and GDD in different planting patterns  
(symbols and lines represent actual and predict data, respectively)

آرایش‌های کاشت، متفاوت بود. حداکثر مقدار K در آرایش کاشت مربع و رقم ۱۰۸ برابر ۰/۵۹ و حداقل مقدار K محاسبه شده در همین آرایش کاشت در رقم ۳۰۱ به مقدار ۰/۵۱ به دست آمد. اگرچه مقادیر به دست آمده در این مطالعه برای a نزدیک به مقادیر به دست آمده توسط ماکو و همکاران (1990) Muchow *et al.*, 1990 (در کانوپی ذرت بود ولی مقادیر K محاسبه شده متفاوت و بزرگتر بود. آنها این مقادیر را به ترتیب برای a و K برابر ۱ و ۰/۴ محاسبه کردند در حالی که گالو و داورتی (Gallo and Daughtry, 1986) برآش بهتری a مقادیر با = ۰/۹۵ و a = ۰/۵۲ به دست آوردند. تفاوت در این ضریب می‌تواند ناشی از

شاخص سطح برگ بیشتری نسبت به ارقام زودرس ۳۰۱ و دیررس ۷۰۴ نشان داد ولی با ادامه رشد این برتری در رقم ۳۰۱ مشهودتر و در انتهای نمونه برداری رقم دیررس ۷۰۴ بیشترین شاخص سطح برگ را نشان داد. آرایش و رقم، اثر معنی‌داری بر ضریب خاموشی نور داشت و الگوی توزیع نور در کانوپی را تحت تأثیر قرار دادند ( $P < 0/05$ ). الگوی ارتباط بین (FIPAR) و شاخص سطح برگ در ارقام متفاوت در شکل ۲ نشان داده شده و معادلات برای هر رقم در آرایش‌های متفاوت کاشت برآش یافت. مقادیر a و K محاسبه شده از طریق این معادلات نشان داد که ضریب خاموشی نور و حداکثر تشعشع فعال فتوستنتزی جذب شده (a) در ارقام و

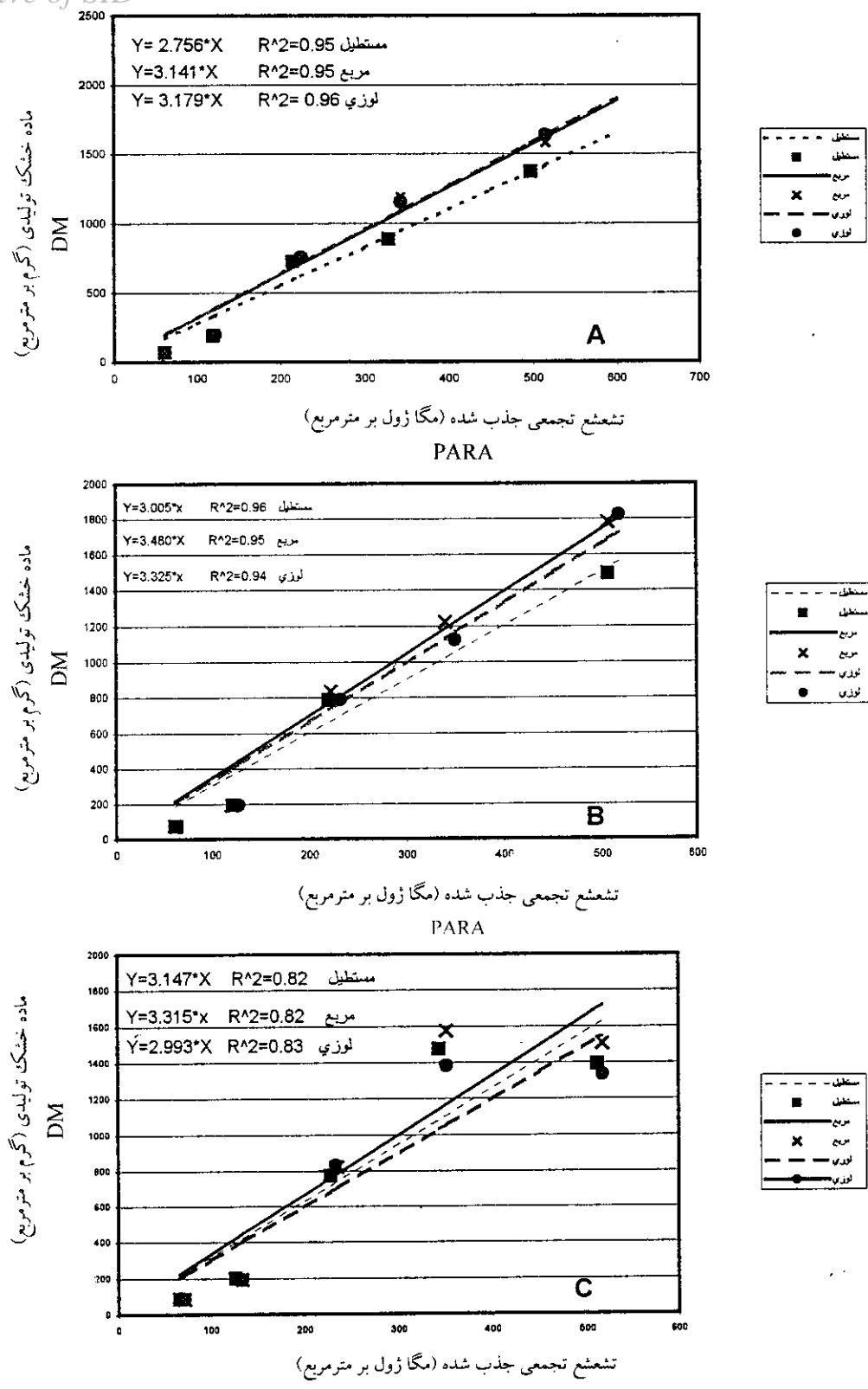
(جدول ۲). ارقام در مراحل متفاوت نمونه برداری از نظر میزان PAR جذب شده تفاوت نشان دادند. در مراحل اولیه نمونه گیری رقم فوق العاده زودرس سینگل کراس ۱۰۸ و در مرحله نهایی رقم دیررس سینگل کراس ۷۰۴ برتری نشان داده و تفاوت معنی داری با دیگر ارقام داشتند (جدول ۲). مادونی و اتوکی (Maddonni and Otegui, 1996) و نیز تولنار (Tollenaar, 1989) گزارش کردند که با تغییر در میزان شاخص سطح برگ PAR جذب شده نیز تغییر کرد. افزایش شاخص سطح برگ در ارقام جدید ذرت نسبت به ارقام قدیم سبب جذب بیشتر PAR در این ارقام شده است (Tollenaar and Aguilera, 1991) مصرف نور (RUE) نیز به عنوان یک مؤلفه اساسی دیگر عامل تفاوت در تجمع ماده خشک در این مطالعه بود. این عامل تحت تأثیر منابع تغییر از جمله آرایش کاشت و رقم، ویژگی های فتوسترزی نظیر حداکثر ظرفیت فتوسترزی برگ ها، راندمان کواتسوم، راندمان کربوکسیلاسیون و روابط مبداء و مقصد را تحت تأثیر قرار می دهد (Sinclair and Horie, 1989). ارتباط بین PAR تجمعی و ماده خشک در شکل ۳ نشان داده شده است. آرایش کاشت اثر معنی داری بر کارآیی مصرف نور در همه مراحل نمونه برداری داشت و آرایش کاشت RUE در همه مراحل رشد بیشترین مقدار را نسبت به سایر آرایش ها نشان داد. بالاترین

تفاوت ژنتیکی ارقام از نظر مقدار سطح برگ، ارتفاع بوته و زاویه برگ ها باشد. آرایش کاشت تاریخ کاشت و تراکم بوته نیز می تواند مقدار این ضرایب را متغیر سازد. در این مطالعه حداکثر کسر تشعشع جذب شده FIPAR که به ندرت به بیشتر از ۹۰ درصد رسید در شاخص سطح برگ ۷/۴ در آرایش کاشت مربع ۰/۹۵ حادث شد. حداکثر FIPAR برابر با Gallo *et al.*, (Muchow *et al.*, 1990) ۱ در شاخص سطح برگ برابر ۵ در کانوپی ذرت گزارش شده است. به نظر می رسد برای رسیدن به FIPAR بزرگتر نیاز به افزایش تراکم ارقام با توجه به الگوهای کاشت باشد. الگوی توزیع سطح برگ در کانوپی ارقام تحت تأثیر آرایش های کاشت اختلاف نشان داد و مقادیر K در پروفیل عمودی گیاه در مراحل مختلف نمونه برداری و در طبقات مختلف کانوپی تغییر کرد (داده ها گزارش نشده است) لذا اختلاف در PAR جذب شده در مراحل متفاوت نمونه گیری ناشی از اختلاف در الگوی توزیع نور (مقادیر متفاوت K و LAI) می باشد. PAR جذب شده در کلیه مراحل نمونه برداری تحت تأثیر آرایش کاشت قرار گرفت و آرایش لوزی در همه مراحل نسبت به سایر آرایش های کاشت از نظر PAR جذب شده برتری نشان داد البته آرایش کاشت مربع به جز در مرحله نهایی نمونه گیری اختلاف معنی داری با آرایش کاشت لوزی در میزان PAR جذب شده نشان نداد



شکل ۲- ارتباط بین شاخص سطح برگ و FIPAR در آرایش‌های مختلف کاشت در ارقام  
KSC108(C), KSC301(B), KSC704(A)  
(علایم نقاط واقعی و خطوط معادله برآورد شده را نشان می‌دهند)

Fig. 2. Relationship between LAI and FIPAR in different planting patterns  
KSC 704(A), KSC301(B), KSC108(C)  
(Symbols and lines represent actual and predict data, respectively)



شكل ۳- ارتباط بین تشعشع تجمعی جذب شده و ماده خشک در آرایش های مختلف کاشت در ارقام KSC108(C) و KSC301(B)، KSC108(A)

(علام نقاط واقعی و خطوط معادله برازش شده را نشان می دهد)

Fig. 3. Relationship between cumulative PARA and DM in different planting patterns in KSC704(A), KSC301 (B) and KSC108(C)  
(Symbols = actual, lines = fit model)

کاشت مربع را مربوط به روند کاهشی کمتر سرعت رشد نسبی محصول (CGR) گزارش کرده‌اند. ارقام از نظر مقدار RUE نیز اختلاف معنی‌داری نشان دادند و با پیشرفت رشد برتری ارقام از این نظر تغییر یافت به نحوی که در مراحل اولیه نمونه‌برداری رقم فوق العاده زودرس سینگل کراس ۱۰۸ و در مراحل نهایی نمونه‌برداری رقم زودرس سینگل کراس ۳۰۱ بالاترین مقدار RUE را به خود اختصاص دادند و اختلاف معنی‌داری با سایر ارقام نشان دادند (جدول ۲). به طور کلی تجمع بیشتر ماده خشک در اثر تغییر آرایش کاشت، ناشی از جذب بیشتر تشعشع فعال فتوستنتزی و به صورت بارزتری در نتیجه کارآیی بالاتر مصرف نور در آرایش کاشت مربع در ارقام مختلف ذرت در طول مراحل رشد ذرت بود.

مقدار RUE در آرایش کاشت مربع در مرحله ۸۵ روز پس از کاشت به مقدار  $\frac{3}{8}$  گرم در مگازول حاصل شد که اختلاف معنی‌داری با سایر آرایش‌های کاشت در همین مرحله داشت (جدول ۲). یک دلیل برای RUE بالاتر در آرایش کاشت مربع می‌تواند مرتبط با توزیع بهتر جریان فتوستنتزی در طول کانوپی باشد. دلیل احتمالی دیگر فتوستنتز ناخالص بیشتر و یا کاهش تنفس نسبت به سایر آرایش‌های کاشت است. در مرحله رشد رویشی و آغاز گرده‌افشانی مزیت نسبی در مقدار RUE در آرایش کاشت مستطیل و در ادامه مراحل رشد و با افزایش پوشش گیاهی و سطح برگ در کانوپی، آرایش کاشت مربع به صورت بارزی برتری نشان داد. لومیس و دانکن (Loomis and Doncan, 1986) بالاتر و نیز تولید بیشتر بیوماس ذرت در آرایش

## References

- Duncan, W. G., and Jesjet, J. D. 1968.** Net photosynthetic rate, relative leaf growth rate and leaf numbers of 22 races of maize grown at eight temperature. *Crop Science* 8: 670-674.
- Dwyer, L. M., Stewart, D. W., Hamilton, R. I., and Honwing, L. 1992.** Ear position and vertical distribution of leaf area in corn. *Agronomy Journal* 8: 430-438.
- Edmeades, G. O., and Lafite, H. R. 1993.** Defoliation and plant density effects on maize selected for reduced plant height. *Agronomy Journal* 85: 850-857.

- Gallo, K. P., and Daughtry, C. S. T. 1986.** Techniques for measuring intercepted and absorbed photosynthetically active radiation in corn canopies. *Agronomy Journal* 78: 752-756.
- Gallo, K. P., Daughtry, C. S. T., and Wiegand, C. L. 1993.** Errors in measuring absorbed radiation and computing crop radiation use efficiency. *Agronomy Journal* 85: 1222-1228.
- Gardner, F. D., Walle, R., and Mecloud, D. E. 1990.** Yield characteristic of ancient race of maize compared to a modern hybrid. *Agronomy Journal* 82: 864-868.
- Hipps, L. E., Asrar, G., and Kanemasu, E. T. 1983.** Assessing the interception of photosynthetically active radiation in winter wheat. *Agricultural Meteorology* 28: 253-259.
- Kiniry, J. R., and Knievel, D. P. 1995.** Response of maize seed number to solar radiation intercepted soon after anthesis. *Agronomy Journal* 87: 228-234.
- Loomis, R. S., and Duncan, W. G. 1986.** Quantitative description of foliage display and light absorption in field communities of corn plants. *Crop Science* 30: 332-336.
- Maddonni, G. A., and Otegui, M. E. 1996.** Leaf area, light interception and crop development in maize. *Field Crop Research* 18: 81-87.
- Monteith, J., and Unsworth, M. 1990.** *Principles of Environmental Physics*. Edward Arnold. London, UK. 291 pp.
- Muchow, R. C., Sinclair, T. R., and Rennetl, I. M. 1990.** Temperature and solar radiation effects on potential maize yield across locations. *Agronomy Journal* 82: 238-343.
- Nelson, D. W., and Sommers, L. E. 1973.** Determination of total nitrogen in plant material. *Agronomy Journal* 65: 109-112.
- Rietveld, M. R. 1987.** A new method for estimating the regression coefficient in the formula relating solar radiation to sunshine. *Agricultural Meteorology* 19: 243-252.
- Sinclair, T. R., and Horie, T. 1989.** Leaf nitrogen, photosynthesis and crop radiation use efficiency: A review. *Crop Science* 29: 90-98.
- Tollenaar, M. 1989.** Genetic improvement in grain yield of commercial maize hybrids grown in Ontario from 1959 to 1988. *Crop Science* 29: 1365-1371.

- Tollenaar, M., and Aguilera, A.** 1991. Temperature response of dry matter accumulation, leaf photosynthesis, and chlorophyll fluorescence in an old and a new maize hybrid during early development. Canadian Journal of Plant Science 71: 353-359.
- Tollenaar, M., and Aguilera, A.** 1992. Radiation use efficiency of an old and a new maize hybrid. Agronomy Journal 84: 536-541.

---

آدرس تکارندهان:

علیرضا بهشتی و علیرضا کوچکی- بخش تحقیقات اصلاح و تهیه نهال و بذر، مرکز تحقیقات کشاورزی خراسان، مشهد.  
مهدی نصیری محلاتی- دانشکده کشاورزی دانشگاه فردوسی، مشهد.